

Pankreatiidi vaskulaarsed tüsistused ning muud pankrease hüpervaskulaarsed ja hemorraagilised muutused

Ats Vare

III a radioloogia resident

M50

Pöördub EMO-sse samal päeval tekkinud ülakõhuvalu ja korduva oksendamise tõttu. Patsiendi sõnul oli ta oksendanud suures koguses nii tumedat kui ka heledat verd; hiljem vere hulk vähenes. EMOs patsient ei oksenda.

- Anamneesis alkohoolse geneesiga krooniline pankreatiit; viimati ligikaudu 3 kuud tagasi ägenemisega viibinud EMO-s.
- Suitsetab ligikaudu 30 pakk-aastat. Alkoholi tarvitamine sage ja regulaarne.

Vereanalüüsides lipaasi tõus (913 U/L); aneemiat ei esine (Hb 145 g/L, Hct 46%).

Erakorralisel UH-uuringul nähtavus suboptimaalne, pankrease kontuur visualiseerub halvasti.

Patsient hospitaliseeritakse gastroenteroloogia osakonda.

M50

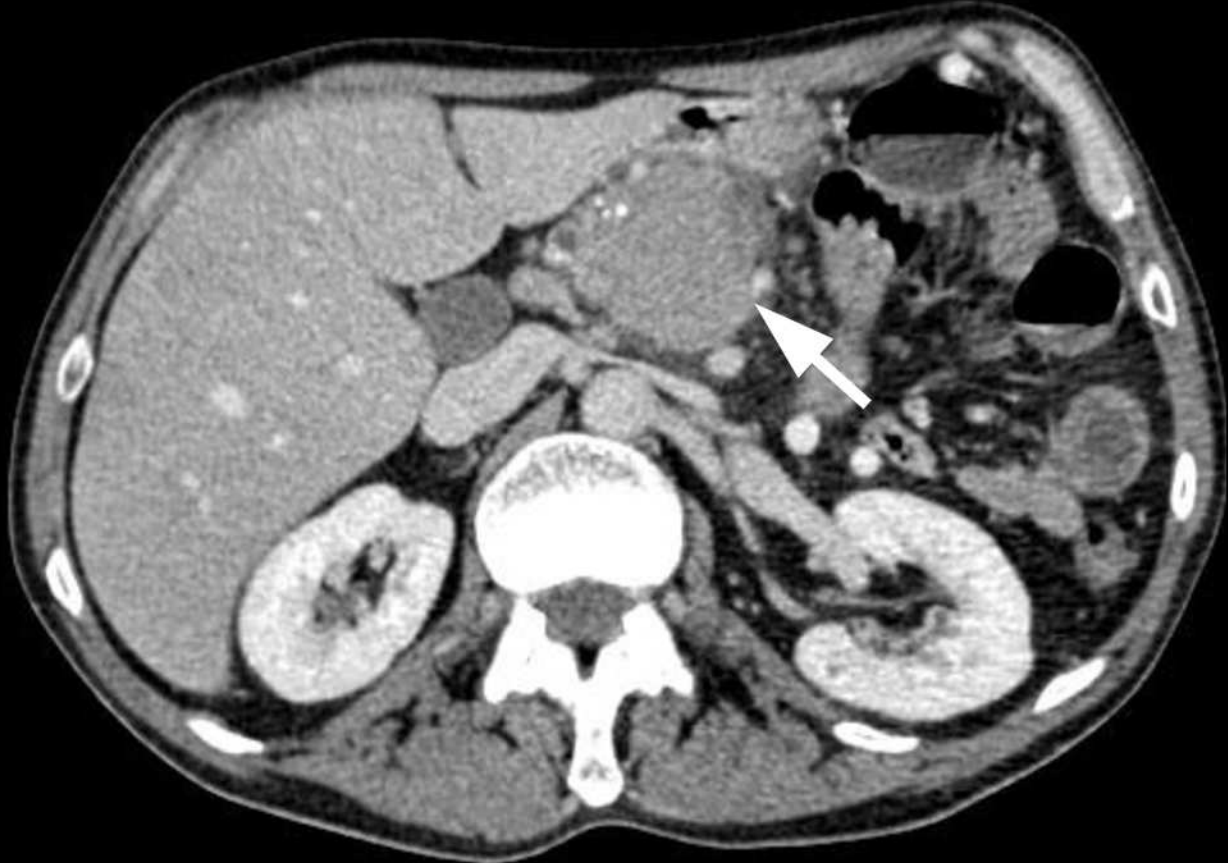
Gastroskoopial visuaalselt (ja histoloogiliselt) gastriidi leid, võimaliku verejooksu lokalisatsioon ei selgu.

Point-of-care UH-uuringul “[Pankrease] korpuse osas eristub suur, väga ebaühtlane struktuuriga (ka väikesi vedelikukogumeid sisaldav) pseudotuumor. ... Laienenud põrnaveen, millel selle pankreasekolde körgusel on valendikus kajarikas ala: tromb??? Distaalsemale veen kitsam.”

Tellitakse KT-uuring



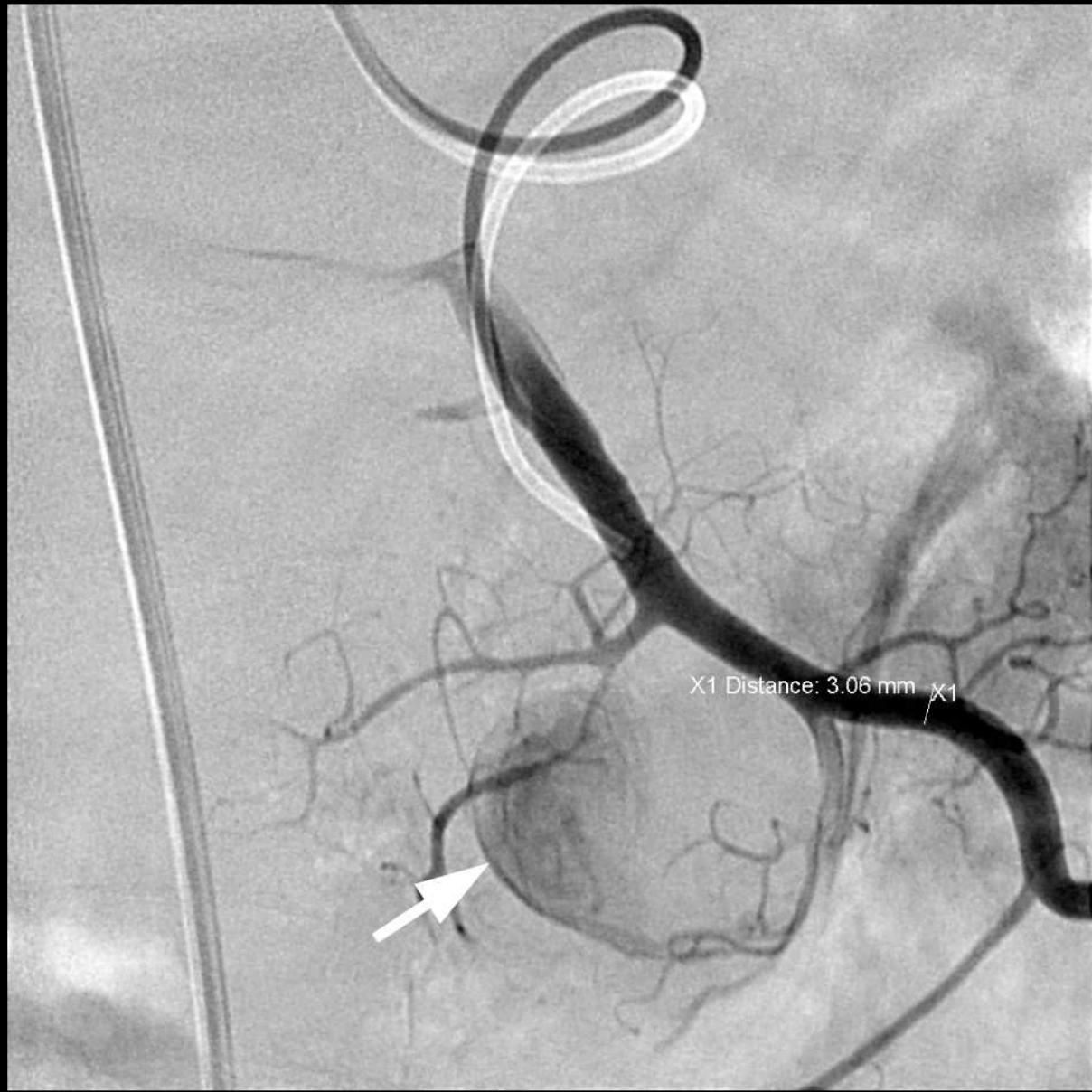
Saatekirjalt: “Pankrease korpuse osas ebaühtlane pseudotumoroosne moodustis. Põrnaveeni tromb? Võimalusel välistada pseudoaneurüsm.”



Aksiaaltasapinnas kujutis KT-uuringust intravenoosse kontrastaineaga venoosses faasis. Pankrease peaosas tuleb nähtavale mittekontrasteeruv moodustis – hematoom (nool). Pörnaveeni tromboosi ei esinenud.



Koronaaltasapinnas MIP-kujutis KT-uuringust intravenoosse kontrastaineaga arteriaalses faasis. A. gastroduodenale väikesest külgharust lähtub pseudoaneursüm (nool). Ümbritsevalt jälgitavad kroonilisele pankreatiidile viitavad väikesed lubjastused pankrease parenhüümis.



Angiograafia ülesvõte. Sond on a. gastroduodenale's, kus tuleb nähtavale selle külgharu vigastus ja kontrastaine ekstravasatsioon pseudoaneurüsmi (nool).



Angiograafia ülesvõte. A. gastroduodenale coilimise järgne leid.

Pankreatiidi vaskulaarsed tüsistused¹

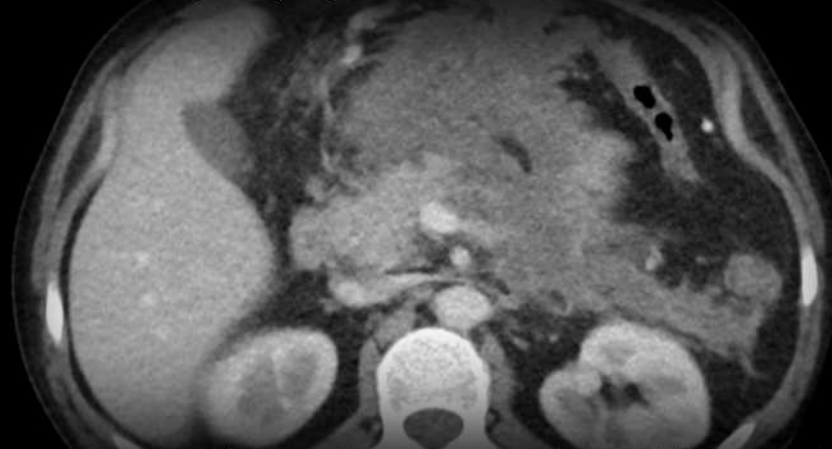
Venoossete tüsistused
kuni 23% pankreatiidiga patsientidel

- Portaal-, põrna- või ülemise mesenteriaalveeni tromboos

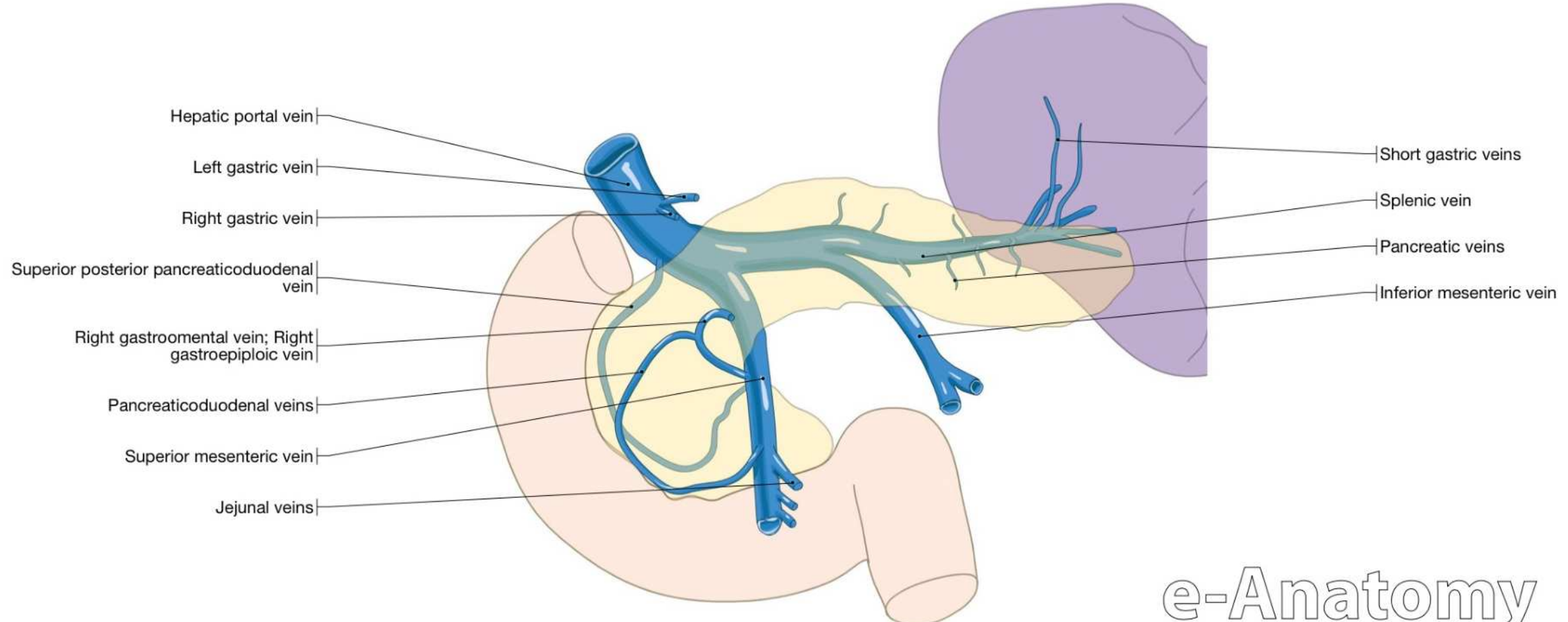
Arteriaalsed Hemorraagilised tüsistused
kuni 10% pankreatiidiga patsientidel

- Pseudoaneursümi ruptuur
60% ägedatest hemorraagiatest seoses pankreatiidiga
- Hemorraagiline pseudotsüst ilma pseudoaneurüsmita
20% ...
- Kapillaarne, venoosne või muude väikeste veresoonte verejooks
20% ...

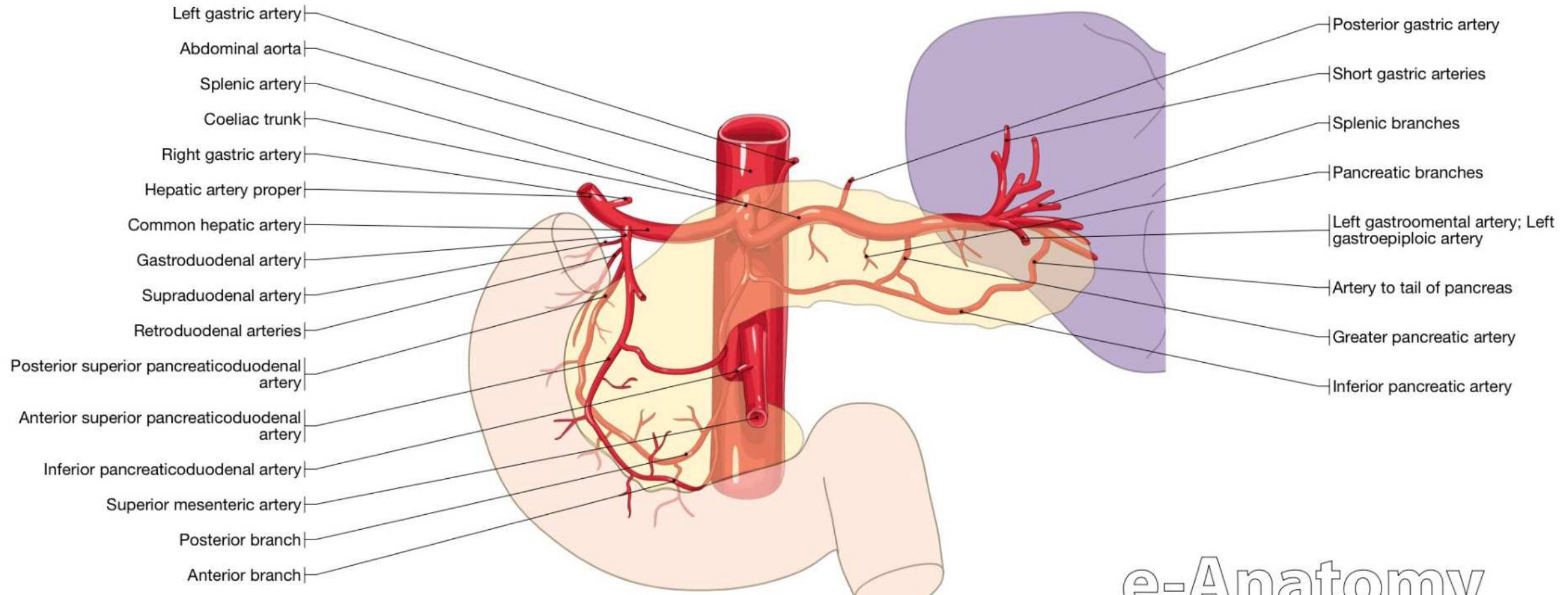
Tüsistuste teke on seotud väljendunud põletikureaktsiooni ja selle käigus vabanevate pankrease lipo- ja protelütiliste ensüümidega



Tüsistuste tekke riski suurendavad krooniline põletik, hulgiorganpuudulikkus, nekros, peripankreaatiline infektsioon, *menetlusprotseduurid*, ...



e-Anatomy



e-Anatomy

Pankreatiidi vaskulaarsed tüsistused¹

Hemorraagilised tüsistused
kuni 10% pankreatiidiga patsientidel

- Pseudoaneursümi ruptuur
60% ägedatest hemorraagiatest seoses pankreatiidiga
 - Peritonealsele
 - Õõnesorganisse
 - Pseudotsüsti
 - Pankreasejuhasse (*hemosuccus pancreaticus*)
- Hemorraagiline pseudotsüst ilma pseudoaneurüsmita
20% ...
- Kapillaarne, venoosne või muude väikeste veresoonte verejooks
20% ...

Pseudoaneurüsmi puhul moodustab aneurüsmi seina vaid veresoone väliskiht ehk *tunica adventitia*

Peripankreaatiline pseudoaneurüsm võib kujuneda nädalate kuni aastate jooksul

Ruptuuri/hemorraagia kliiniline pilt võib olla väga varieeruv

Pankrease muud hüpervaskulaarsed ja hemorraagilised kolded

(või neid jäljendavad muutused)

Venoosne tromboos²

Portomesenteriaalse venoosse süsteemi tromboos võib olla põhjustatud

- erinevatest põletikest ja infektsioonidest,
- maliigsetest protsessidest,
- tsirroosist/portaalhüpertensioonist,
- koagulopaatiatest, ...

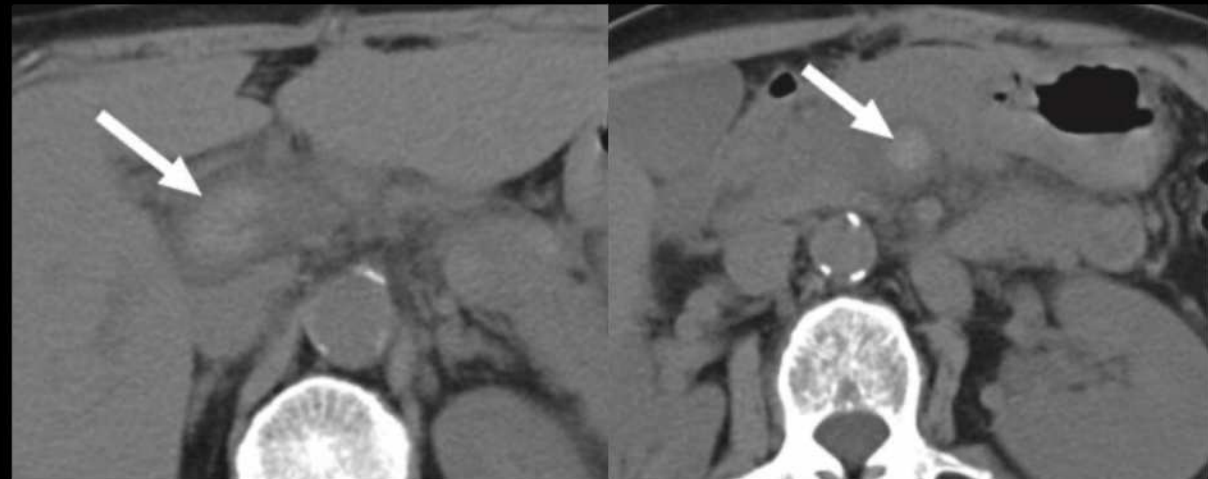
Äge tromboos peripankreaatiliselt võib jälgendada hemorraagilist kollet

- Trombil tubulaarne kuju

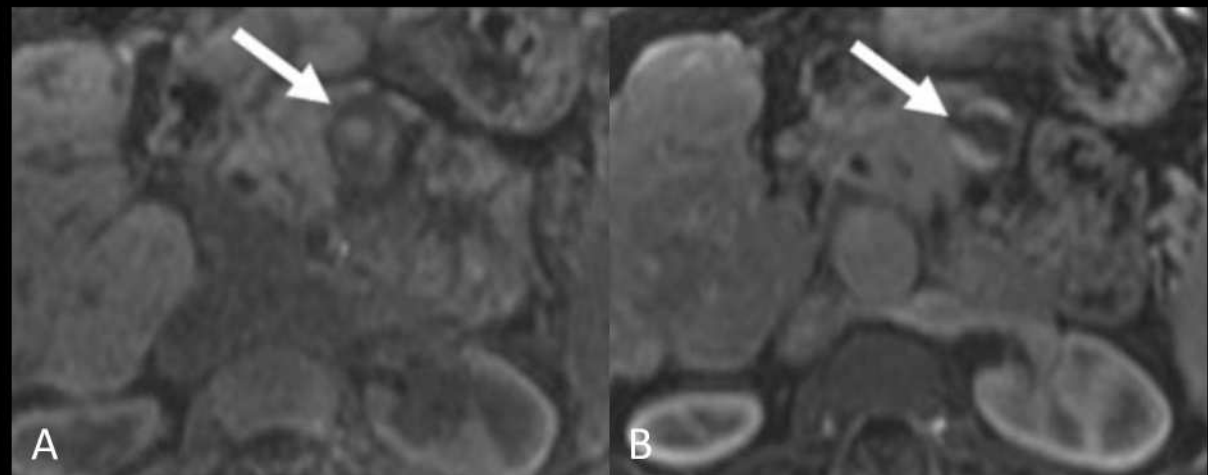
Kontrolli veenide kulgu!

Tromb ei kontrasteeru

- Välja arvatud tuumor-tromb!

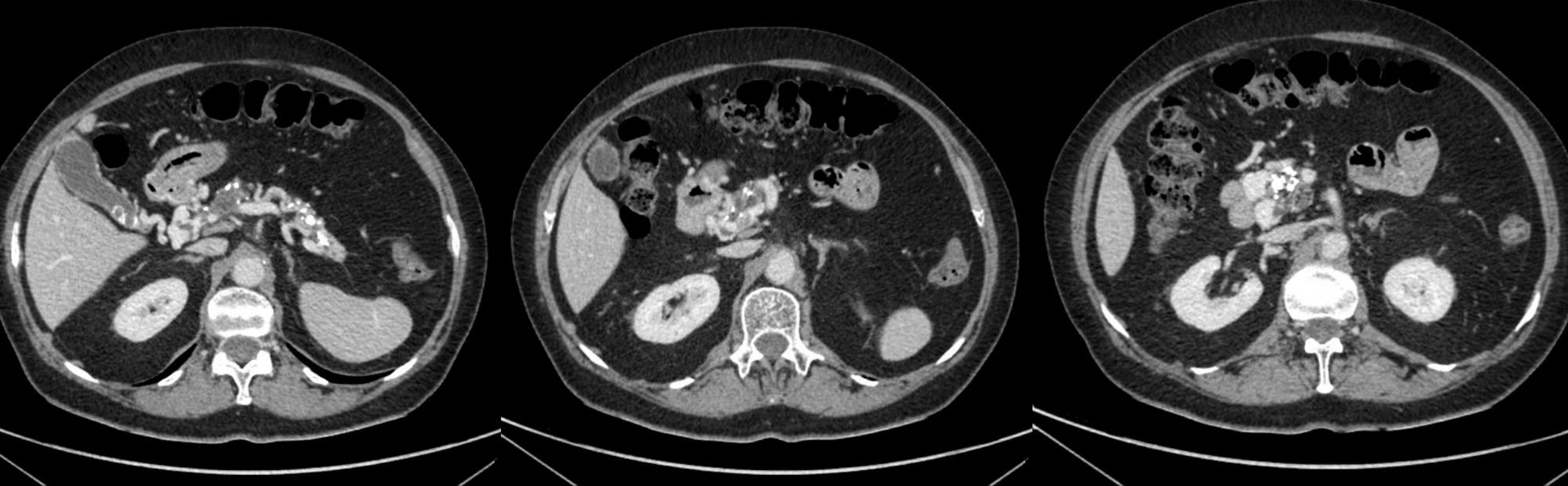


28-year-old woman with portomesenteric thrombosis. Axial CT images obtained in unenhanced phase show thrombosis (arrow) of portal, and superior mesenteric veins. Thrombus has high attenuation, mimicking hemorrhagic pancreatic lesion.



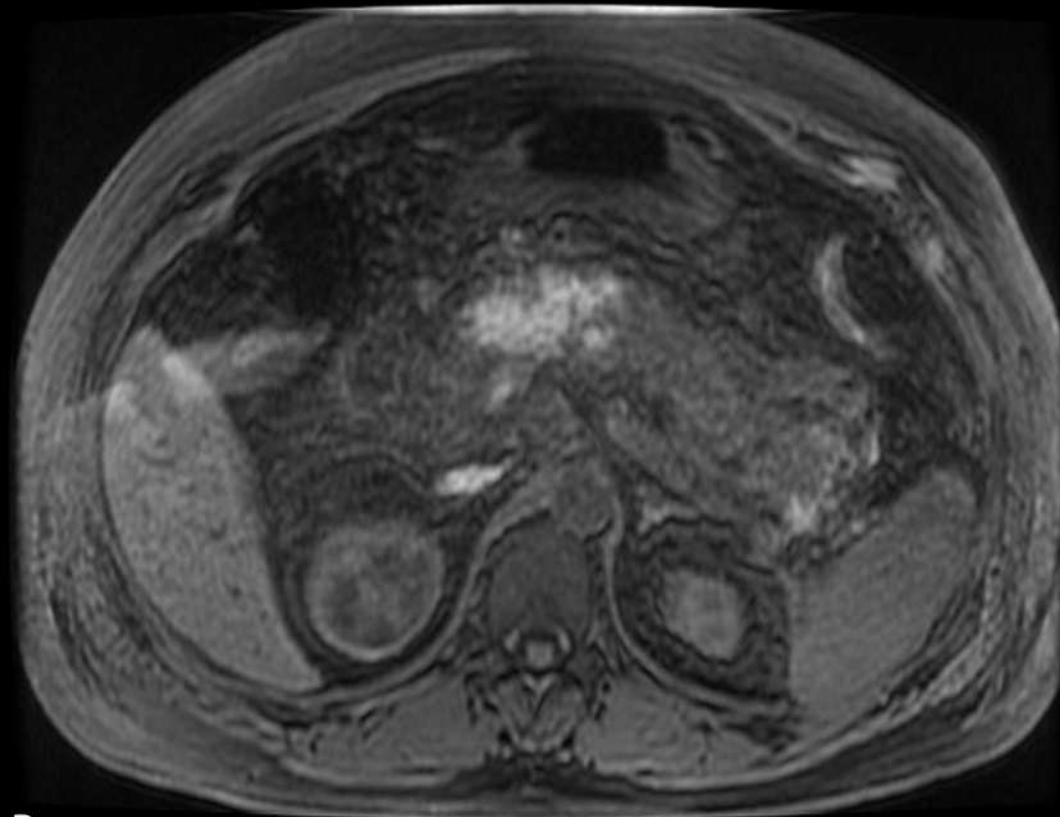
65-year-old man with thrombosis of superior mesenteric vein. (A) Axial T1-weighted fat-suppressed unenhanced MR image shows area of high signal intensity (arrow) within vein in keeping with hemorrhagic thrombus. (B) Axial T1-weighted fat-suppressed MR image obtained in late arterial phase shows peripheral flow around central thrombus (arrow).

Portosüsteemsed kollateraalveenid



71-aastane naisterahvas portaalveeni tromboosi järgse kavernoosse transformatsiooniga. KT-uuringul kontrastaineaga venoosses faasis on jälgitavad mitmed kollateraalveenid peripankreaatiliselt, mis võivad esmapilgul jälgjendada hüpervaskulaarset kollet.

Hemorraagiline pankreatiit

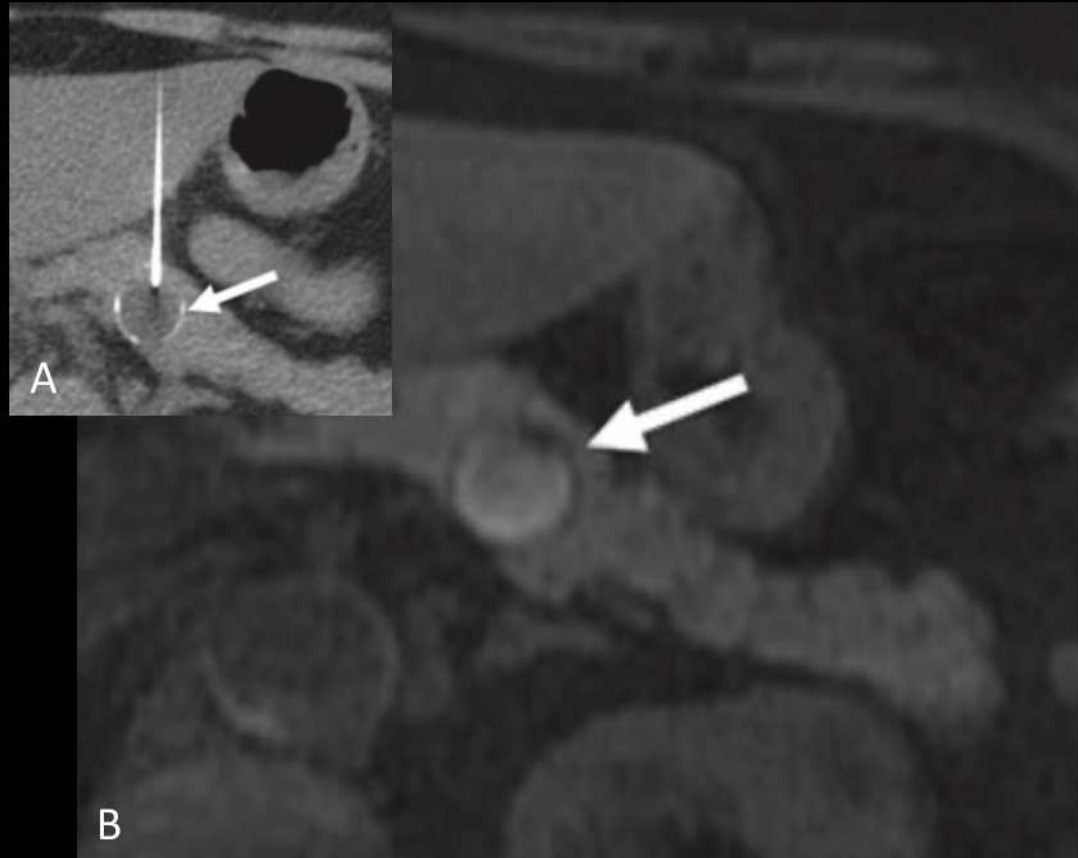


45-year-old man with necrotising pancreatitis complicated by haemorrhage. **(A)** On day one, axial CT image obtained in portal venous phase shows hypoenhancement of the pancreatic parenchyma involving the head, neck, proximal body. **(B)** On day three, axial T1-weighted fat-suppressed unenhanced MR image shows haemorrhage involving necrotic areas of the pancreatic neck and proximal body, evidenced by T1 hyperintensity. Small amount of haemorrhage about the tail.

Trauma²



27-year-old man with pancreatic trauma. Axial CT image obtained in portal venous phase shows pancreatic tail disruption after motor vehicle accident. High-attenuation hemorrhage is seen in pancreatic bed (short arrow) and retroperitoneum (long arrow).



50-year-old woman with iatrogenic pancreatic trauma. (A) Unenhanced axial CT image shows biopsy needle with tip in mucinous cystic tumor (arrow) of pancreas. (B) Axial T1-weighted fat-suppressed unenhanced MR image obtained after biopsy shows high signal intensity in tumor (arrow) in keeping with hemorrhage. Intratumoral hemorrhage is not a feature of mucinous cystic tumors and in this case was secondary to biopsy.

Kasvajad

Pankrease neuroendokriinsed tuumorid^{2,3}

<1 juht 100 000 inimese kohta aastas

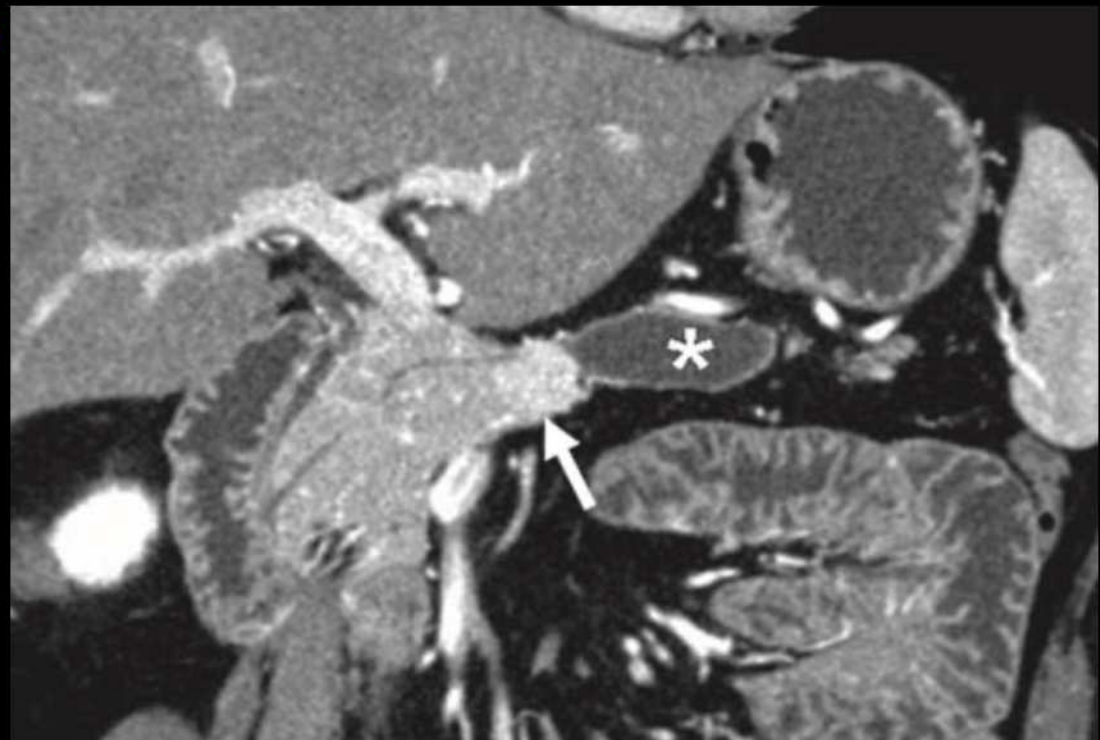
– Sündroomsed

Pigem väikesed, homogeensed, hüpervaskulaarsed

- Insulinoom (60%)
- Gastrinoom (20%)
- Glükagonoom (3%)
- VIPoom (2%)
- Somatostatinoom (<1%)

– Mittesündroomsed

Suuremad, heterogeensemad, põhjustavad massiefekti



55-year-old man with insulinoma. Coronal reformatted CT image obtained in late arterial phase shows homogeneous hypervascular mass (arrow) in mid pancreatic body. Proximal pancreatic duct dilatation (asterisk) is evident.

Kasvajad

Seroosne mikrotsütiline adenoom²

N>M; vanuses 60+

- Beniigne
- Peaaegu ainus hüpervaskulaarne tsüstjas pankrease kasvaja (ka mõned pNET-id võivad harva olla tsüstjad)
 - Tsentraalne arm
- Mikrotsütiline = tsüstdid kuni 2 cm läbimõõduga
 - Tsüstdid võivad verduda



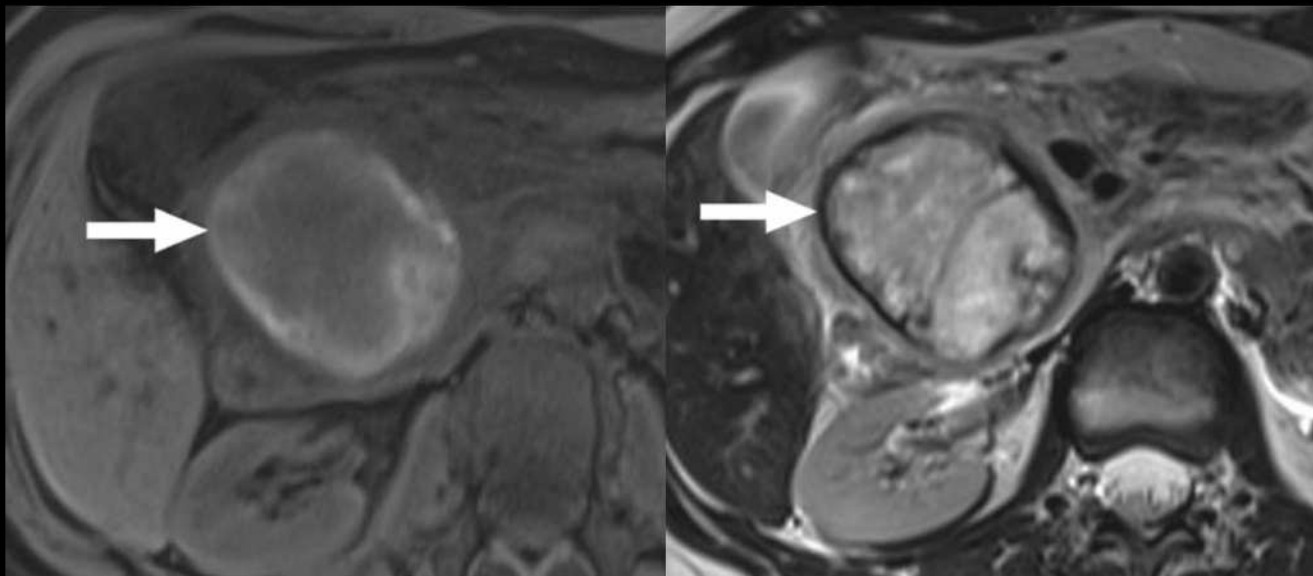
72-aastane meesterahvas seroosse mikrotsütilise adenoomiga. (A) Aksiaaltasapinnas KT kujutis kontrastainega venoosses faasis. Pankrease sabaosas on suur seroosne mikrotsütiline adenoom (nool). (B) Aksiaaltasapinnas MRT T1-kaalutud kujutis nativiivis. Kasvaja dorsaalkontuuril olevas mikrotsüstis on ver dumine (nool). (C) Aksiaaltasapinnas MRT T1-kaalutud kujutis kontrastainega venoosses faasis. Kasvaja tsentraalosas on kontrasteeruv arm (nool).

Kasvajad

Soliidne pseudopapillaarne tuumor²

Peamiselt noortel naistel

- Beniigne / *low-grade* maliigne
- Kapseldunud, soliid- ja tsüstja komponendiga kasvaja
 - Kapsel ja soliidkomponent kontrasteeruvad ülejää nud pankreasekoest vеidi vähem intensiivsemalt
- Kasvajasisene verdumine on sage



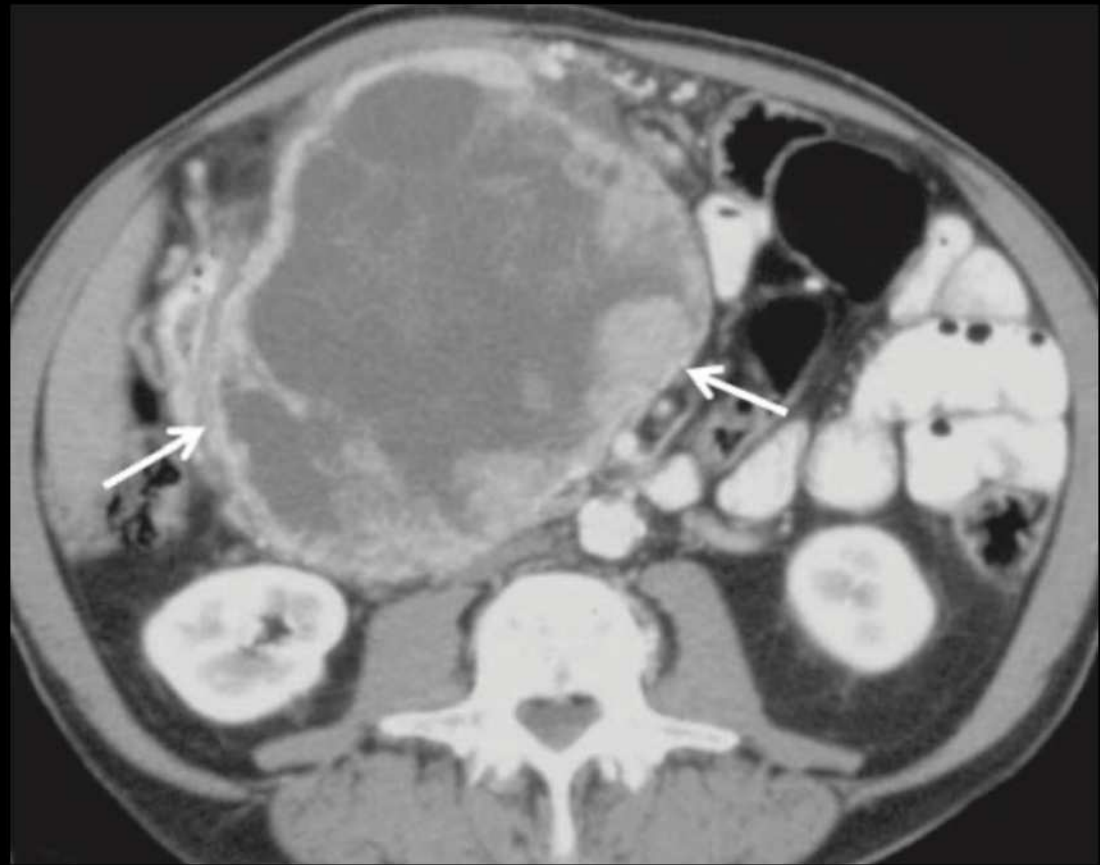
18-year-old woman with solid pseudopapillary tumor. (A) Axial T1-weighted fat-suppressed unenhanced MR image shows large well-defined lesion (arrow) in pancreatic head. Peripheral areas of high T1 signal intensity are in keeping with internal hemorrhage. (B) Axial T2-weighted MR image shows predominantly cystic lesion with hypointense capsule (arrow).

Kasvajad

Atsinaarrakuline kartsinoom²

Ligikaudu 1% pankrease kasvajatest

- Eksofüütne selgelt piirdunud mass
 - Kontrasteerub ülejäänud pankreasekoest veidi vähem intensiivsemalt
 - Hemorraagilised-nekrootilised alad kasvaja suurenedes
- Võib tekitada lipaasi hüpersekretšooni sündroomi (10%)
 - Nahaaluse rasvkoe nekroos, polüartriit, luuinfarktid



64-year-old man with acinar cell carcinoma. Axial CT image obtained in portal venous phase shows large well-margined mass (arrows) originating from pancreatic head. Lesion has undergone hemorrhagic necrosis in central aspect.

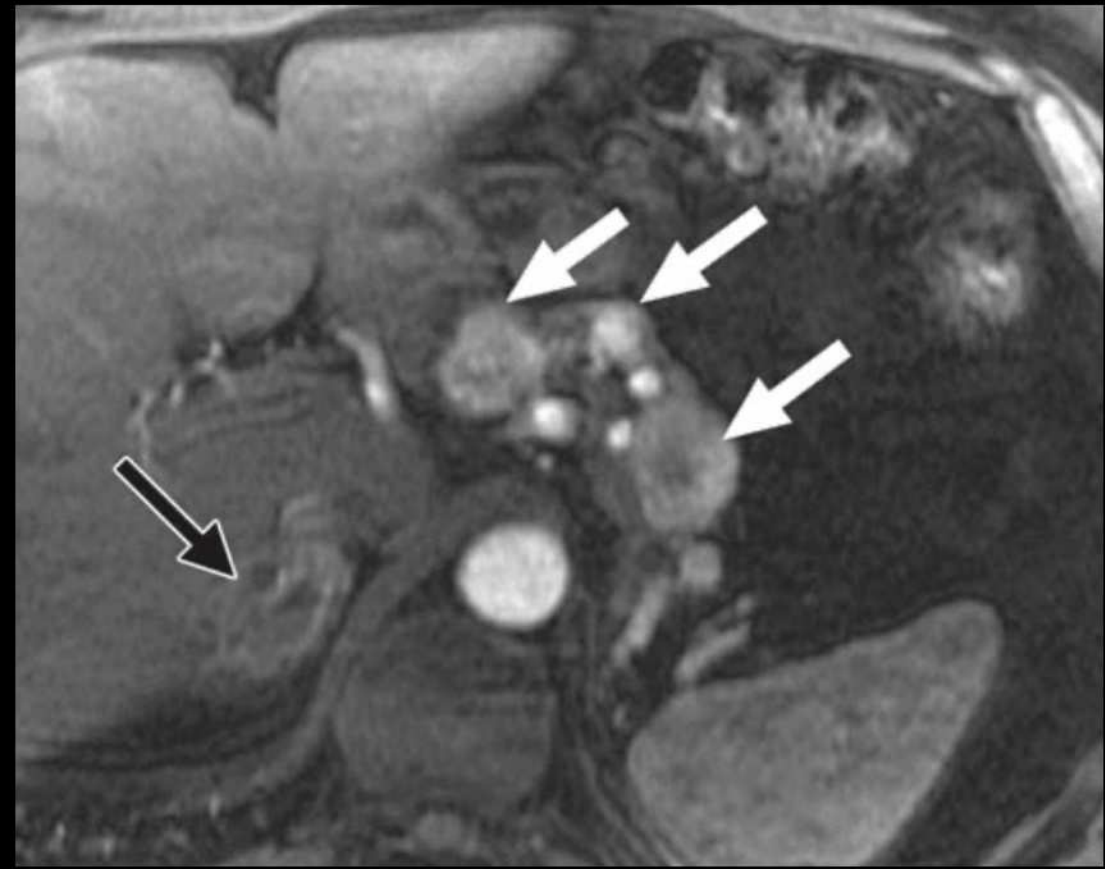
Kasvajad

Metastaasid²

Metastaasid pankreases on harvad ja esinevad üldjuhul kaugelarenenud haiguse korral

Hüpervaskulaarsed metastaasid

- Neerurakk kartsinoom
- Melanoom
 - T1 hüper- / T2 hüpointensiivne – hemorraagiast eristamiseks vaja substraktsioonkujutisi
- Kilpnäärme kartsinoom
- Sarkoom



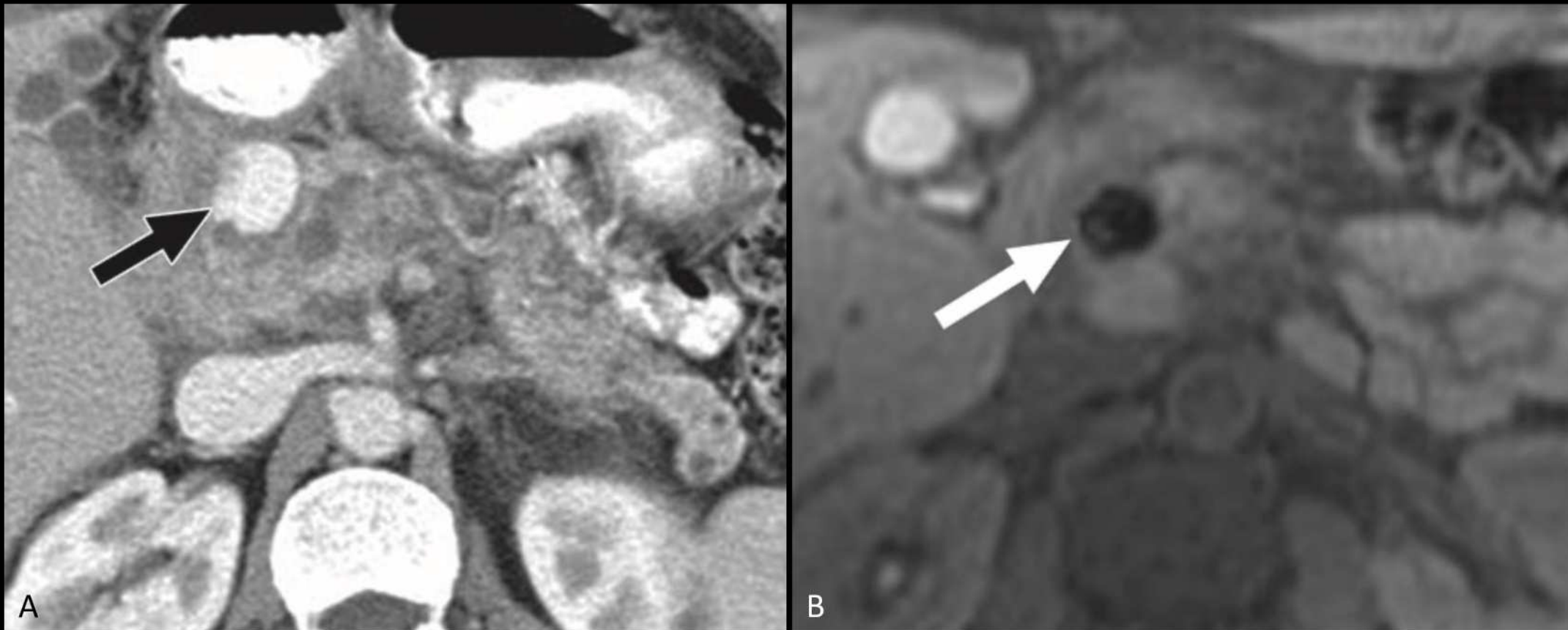
72-year-old man with metastasis from renal cell carcinoma. Axial T1-weighted fat-suppressed MR image obtained in arterial phase shows multiple hypervascular masses (white arrows) in pancreas. Right adrenal metastasis (black arrow) is present.

Lisapõrn²



36-year-old woman with intrapancreatic accessory spleen. (A) Axial and (B) and coronal CT images obtained in late arterial phase show well-circumscribed highly enhanced lesion (arrow) in tail of pancreas. Attenuation of lesion is identical to that of spleen.

Duodeenumi divertiikul²



43-year-old man with duodenal diverticulum. **(A)** Axial CT image obtained in arterial phase shows well-circumscribed high-attenuation lesion (arrow) in region of pancreatic head. **(B)** Axial T1-weighted fat-suppressed unenhanced MR image shows signal void within lesion (arrow) due to presence of gas within duodenal diverticulum.

Kasutatud materjalid

1. Evans RPT, Mourad MM, Pall G, Fisher SG, Bramhall SR. **Pancreatitis: Preventing catastrophic haemorrhage.** World J Gastroenterol 2017;23:5460-68.
2. Sahni VA, Mortelé KJ. **The bloody pancreas: MDCT and MRI features of hypervasculair and hemorrhagic pancreatic conditions.** Am J Roentgenol 2009;192:923-35.
3. Strosberg JR. **Classification, epidemiology, clinical presentation, localization, and staging of pancreatic neuroendocrine neoplasms.** In: Savarese DMF, Grover S (Ed), *UpToDate*. Waltham, MA, 2021.